

پنهانه‌بندی و بررسی اثرات مورفولوژیکی سیلاب‌های رودخانه زرینه‌رود  
(از ساری‌قمیش تا سد نوروزلو)

محمدحسین رضائی مقدم<sup>۱</sup> - استاد ژئومورفولوژی دانشگاه تبریز، تبریز، ایران

مصطفویه رجبی - استاد ژئومورفولوژی دانشگاه تبریز، تبریز، ایران

رسول دانشفراز - دانشیار عمران دانشگاه مراغه، مراغه، ایران

منصور خیری زاده - دانشجوی دکترای ژئومورفولوژی دانشگاه تبریز، تبریز، ایران

تاریخ دریافت: ۱۳۹۴/۹/۲۹      تاریخ تصویب: ۱۳۹۵/۱/۱۶

چکیده

سیلاب‌ها از فراوان‌ترین و مخرب‌ترین بلایای طبیعی به شمار می‌روند. در این ارتباط پنهانه‌بندی دشت سیلابی و کاربرد آن در برنامه‌ریزی آمایش فضا، از جمله اقدامات مهم غیرسازه‌ای در زمینه کاهش خسارات سیلاب محسوب می‌شود. این پژوهش سعی دارد به بررسی خطر و قوع سیل در دشت سیلابی رودخانه زرینه‌رود با استفاده از مدل هیدرودینامیکی HEC-RAS و سیستم اطلاعات جغرافیایی (GIS) بپردازد. همچنین، از توان رودخانه به عنوان شاخصی جهت بررسی اثرات مورفولوژیکی بالقوه سیلاب‌ها استفاده شده است. داده‌های پایه برای مدل HEC-RAS شامل داده‌های فضایی و داده‌های جریان رودخانه می‌باشند. مهم‌ترین داده‌های فضایی پژوهش از طریق تهیه DEM (با قدرت تفکیک ۱ متر) و TIN از روی نقشه‌های توپوگرافی مقیاس ۱:۲۰۰۰ حاصل شد. متغیرهای جریان، از طریق تحلیل داده‌های ایستگاه‌های هیدرومتری موجود بر روی مجرای اصلی و انشعابات آن به دست آمد. به‌منظور پیش‌پردازش داده‌های فضایی و پس‌پردازش نتایج حاصل از مدل HEC-RAS از الحاقی HEC-GeoRAS استفاده گردید. جهت بررسی اثرات ژئومورفیکی سیلاب‌ها، مجرای رودخانه با توجه به دانه‌بندی مواد بستر و الگوی رودخانه به دو بازه تقسیم‌بندی شد. در بازه اول (از ابتدا تا شهر محمودآباد)، به دلیل کم عرض بودن دشت سیلابی، پنهانه‌های سیل گیر محدود می‌باشند. در این بازه، توان رودخانه در طی سیلاب‌ها زیاد است؛ اما مقاومت مواد بستر و کناره‌ها، مانع عدمدهای در خصوص فرسایش کناره و کف کنی رودخانه محسوب می‌شوند. در بازه دوم (از محمودآباد تا بالادست سد نوروزلو)، عرض پنهانه‌های سیل گیر افزایش می‌یابد. توان رودخانه، نسبت به بازه اول پایین‌تر است؛ اما به دلیل نوع رسوبات بستر مجرأ (ماسه تا گراول) و فرسایش پذیری

زیاد مواد کناره‌ها، تغییرات مورفولوژیکی مجرای زیاد می‌باشد و سیلاب‌ها، منجر به فرسایش‌های شدید، مهاجرت مئاندرها، ایجاد میانبرها و همچنین نهشته‌گذاری به صورت پشته‌های نقطه‌ای در داخل و کناره‌های مجرای می‌شوند. نتایج، همچنین نشان می‌دهد که سیلاب‌های با دوره‌های بازگشت مختلف، خطر چندانی برای سکونت‌گاه‌های شهری و روستایی ایجاد نمی‌کنند؛ اما می‌توانند خسارات زیادی به اراضی کشاورزی وارد سازند. با توجه به ژئومورفولوژی منطقه و عرض پهنه‌های سیل گیر، سیلاب با دوره بازگشت ۲۵ ساله، می‌تواند مبنای برنامه‌ریزی‌های آمایش داشت سیلابی باشد.

**کلیدواژه‌ها:** سیلاب، هیدرودینامیک، اثرات مورفولوژیک، مدل HEC-RAS، زرینه‌رود.

#### ۱. مقدمه

سیلاب‌ها جزء لاینفک دینامیک مجرای رودخانه‌ها می‌باشند (Wohl<sup>۱</sup>: ۲۰۰۳). فرایندهای طبیعی رودخانه‌ای تنها زمانی می‌توانند باعث بلایایی شوند که انسان‌ها، خود را در معرض خطر قرار دهند. به دلایل مختلفی از جمله دسترسی به زمین ارزان، خاک حاصلخیز یا چشم‌انداز زیبا، دشت‌های سیلابی جهت سکونت انتخاب شده‌اند. از این‌رو، با توسعه بیشتر دشت‌های سیلابی، تلفات و هزینه‌های مربوط به سیلاب‌ها نیز زیادتر می‌شوند (هیندمان و هیندمان<sup>۲</sup>: ۲۰۰۹؛ ۳۳۴). می‌توان گفت که سیلاب‌ها از لحاظ بزرگی و اثرات انسانی از مخرب‌ترین بلایایی طبیعی محسوب می‌شوند. به طوری که، در مقایسه با سایر انواع بلایایی طبیعی، حدود ۲۰-۴۰ درصد از رخدادهای گزارش شده را شامل می‌شوند (سن<sup>۳</sup>: ۲۰۰۸). سیلاب‌ها، ایجاد‌کننده مخاطرات ژئومورفیکی از طریق تغییرات در شکل مجرای و انتقال رسوب می‌باشند. تحلیل اثر سیلاب‌ها بر روی مورفولوژی مجرای و انتقال رسوب، یکی از توجهات اصلی ژئومورفولوژی رودخانه‌ای بوده است. سیلاب، ممکن است باعث تغییرات چشمگیر در طول برخی بازه‌های مجرای شود و بر عکس، اثرات نسبتاً اندکی بر سایر بازه‌ها داشته باشد (Wohl, ۲۰۰۰: ۱۶۷).

بررسی‌ها و مطالعات نشان داده است که علت افزایش خسارات سیلاب در دنیا، افزایش تکرار و یا بزرگی طغیان‌ها نبوده، بلکه استفاده گسترده از اراضی دشت‌های سیلابی مهم‌ترین نقش را داشته است. لذا تدوین برنامه‌ای جامع با هدف مهار و کنترل و بهره‌برداری بهینه با اعمال اقدامات مدیریتی متناسب با کلیه عوامل دخیل در ایجاد سیلاب‌های منطقه‌ای ضرورت می‌یابد (رضوی، ۱۳۸۷: ۹۰). وقوع سیلاب پدیده‌ای اجتناب‌ناپذیر است و با اینکه نمی‌توان جلوی رخداد آن را گرفت، اما با اقداماتی می‌توان خسارات ناشی از

<sup>1</sup> Wohl

<sup>2</sup> Hyndman and Hyndman

<sup>3</sup> Sene

آن را به حداقل رساند (پرووربز و سوتانتو<sup>۱</sup>، ۲۰۰۴: ۹). در این زمینه، کنترل کاربری اراضی، پهنه‌بندی و برنامه‌ریزی، عوامل مهمی محسوب می‌شوند (کمیته تحلیل ریسک پایه کاهش خسارت سیل<sup>۲</sup>، ۲۰۰۰: ۳۱). پهنه‌بندی، جهت مشخص شدن میزان خطرپذیری نسبت به سیلاب، شناسایی نواحی برای بیمه سیل و ایجاد محدودیت‌های اجباری کاربری در مناطق خطرپذیر می‌باشد (ولیزاده، ۱۳۸۶: ۱۶۹-۱۵۳)؛ بنابراین، هدف مدیریت دشت سیلابی، به حداقل رساندن منفعت اجتماعی است؛ این امر منجر به اتخاذ استراتژی‌هایی می‌شود که میزان دسترسی به زمین‌های مصون از سیلاب، احتمال و بزرگی سیلاب‌های بالقوه، دسترسی به بیمه، و هزینه‌های سازه‌های کاهش خسارات سیلاب را مورد بررسی قرار می‌دهد (کمیته تحلیل ریسک پایه کاهش خسارت سیل، ۲۰۰۰: ۳۰).

به‌منظور پهنه‌بندی دشت سیلابی، مدل‌های یک‌بعدی به صورت سنتی مورد استفاده قرار گرفته و هنوز هم به‌طور معمول به کار گرفته می‌شوند (به عنوان مثال: یمانی و همکاران، ۱۳۹۱؛ قمی اویلی و همکاران، ۱۳۸۹؛ غفاری و امینی، ۱۳۸۹؛ پاترو<sup>۳</sup> و همکاران، ۲۰۰۹؛ انسلول گول<sup>۴</sup> و همکاران، ۲۰۱۰؛ ماچادو و احمد<sup>۵</sup>، ۲۰۰۷؛ نبل<sup>۶</sup> و همکاران، ۲۰۰۵؛ یانگ<sup>۷</sup> و همکاران، ۲۰۰۶). تنظیم این مدل‌ها آسان بوده و محاسبات، سریع صورت می‌گیرند (مرداد، ۲۰۰۴: ۳۰). در این رابطه، HEC-RAS یک مدل هیدرولیکی است که توسط مرکز مهندسی هیدرولوژیک<sup>۹</sup> (HEC) بخش مهندسی ارتش ایالات متحده آمریکا توسعه یافته است (تیت، ۱۹۹۹: ۲۳). سیستم HEC-RAS شامل چهار مؤلفه تحلیل یک‌بعدی رودخانه است، به‌منظور: (۱) محاسبات پروفیل سطح آب جریان ماندگار؛ (۲) شبیه‌سازی جریان غیرماندگار؛ (۳) محاسبات انتقال رسوب مرزی متحرک؛ و (۴) تحلیل کیفیت آب (مرکز مهندسی هیدرولوژیک<sup>۱۱</sup>، ۲۰۱۰، فصل ۱: ۲). نتایج مدل، مخصوصاً در مدیریت دشت سیلابی و مطالعات بیمه سیل، به‌منظور ارزیابی اثرات تجاوز به مسیر سیلاب، مورد استفاده قرار می‌گیرند (تیت، ۱۹۹۹: ۲۴). در این تحقیق، خطر وقوع سیلاب و مهم‌ترین اثرات ژئومورفولوژیکی آن در طول بازه‌ای از رودخانه زرینه‌رود (از روستای ساری قمیش تا بالادست سد نوروزلو) مورد بررسی قرار می‌گیرد.

## ۲. منطقه مورد مطالعه

1 Proverbs and Soetanto

2 Committee on Risk-Based Analysis for Flood Damage Reduction

3 Patro

4 Onusluel Gul

5 Machado & Ahmad

6 Knebl

7 Yang

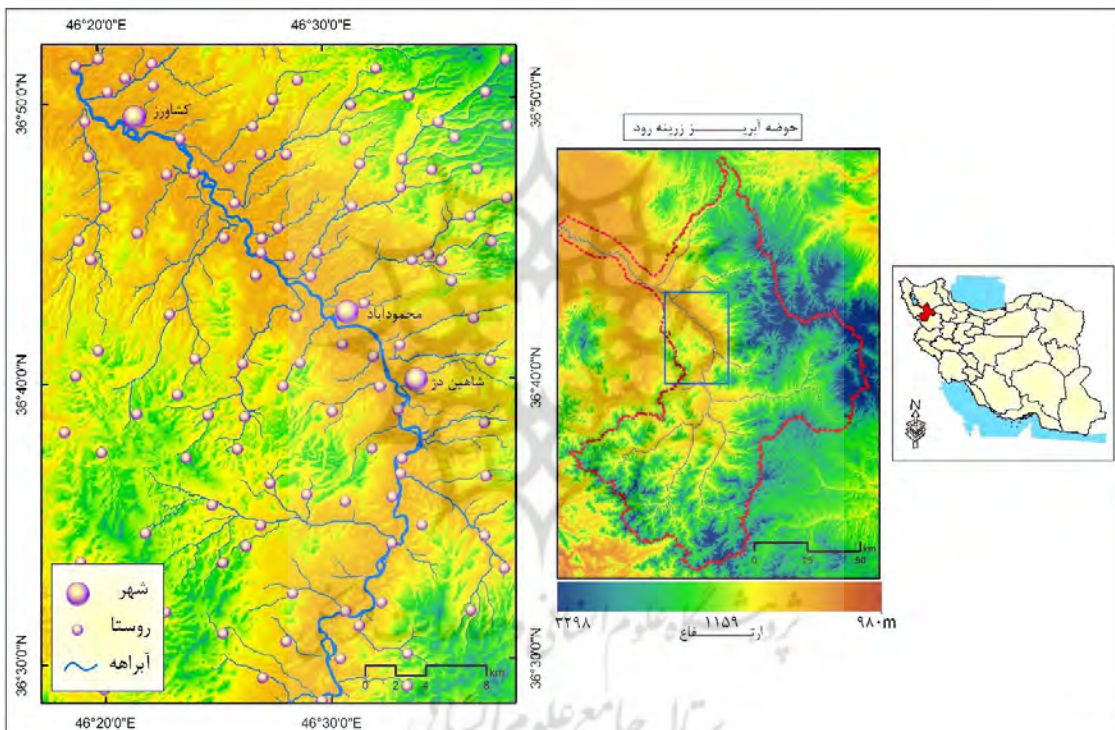
8 Merwade

9 Hydrologic Engineering Center

10 Tate

11 HEC (Hydrologic Engineering Center)

رودخانه زرینه رود (جئوگاتی چای)، مهم‌ترین و پرآب‌ترین رود حوضه آبریز دریاچه ارومیه می‌باشد. به طوری‌که، حدود ۴۸ درصد آب این دریاچه را تأمین می‌کند. این رودخانه، با طول بیش از ۲۰۰ کیلومتر، دارای حوضه آبریز گسترده‌ای است و بیش از ۱۱۷۸۸ کیلومترمربع از زمین‌های استان‌های آذربایجان شرقی، آذربایجان غربی و کردستان را زهکشی می‌کند. رودخانه زرینه رود پس از عبور از کنار شهرهای شاهین‌دژ، محمودآباد، کشاورز و میاندوآب، از سمت جنوب شرقی وارد دریاچه ارومیه می‌شود. مهم‌ترین انشعابات این رودخانه شامل ساروق‌چای، سقزچای، جیغاتوچای و خرخره‌چای می‌باشند. در بازه مورد مطالعه (شکل ۱)، مهم‌ترین انشعاب، رودخانه فصلی اجرلوچای است که مخروط‌افکنهای را نیز در محل پیوستن به رودخانه زرینه رود ایجاد کرده است.



شکل ۱ موقعیت حوضه آبریز زرینه رود (جئوگاتی چای) به همراه بازه مورد مطالعه در شمال‌غرب کشور

### ۳. مواد و روش‌ها

نقشه‌های توپوگرافی به مقیاس ۱:۲۰۰۰ سازمان آب منطقه‌ای استان آذربایجان غربی، اساسی‌ترین داده‌های فضایی تحقیق حاضر محسوب می‌شوند که برای بازه مورد مطالعه از رودخانه زرینه رود، جمعاً ۹۳ برگه می‌باشد. هرگونه مدل‌سازی مناسب سیلاب، نیازمند نمایش مناسب ویژگی‌ها و هندسه کانال و دشت سیلابی است. در این زمینه، الحاقی HEC-GeoRAS، مجموعه‌ای از ابزارها را در محیط ArcGIS فراهم

می‌سازد که برای پیش‌پردازش و آماده کردن داده‌های ورودی فضایی و هندسی مدل HEC-RAS و همچنین جهت پردازش خروجی‌های آن، به همین ترتیب، آماده کردن نقشه‌های سیلاب براساس محاسبات پروفیل سطح آب، مورد استفاده قرار می‌گیرد (کامرون و اکرمن<sup>۱</sup>، ۲۰۱۲، فصل ۳: ۱). داده‌های جریان برای HEC-RAS شامل رژیم جریان، دبی، شرایط اولیه و شرایط مرزی می‌باشند. رژیم جریان به صورت زیربحارانی، فوق بحرانی، یا مختلط مشخص می‌شود. اطلاعات دبی شامل حداقل، یک مقدار جریان در طول هر بازه در شماتیک سیستم رودخانه می‌باشد. شرایط اولیه و مرزی، بر حسب ترازهای سطح آب اولیه در بالادست و پایین دست، هیدروگراف جریان، یا منحنی سنجه دبی تعیین می‌شود (مرداد، ۲۰۰۴: ۲۹) (شکل ۲).

برای جریان ماندگار متغیر تدریجی<sup>۲</sup>، روش اصلی برای محاسبه پروفیل‌های سطح آب بین مقاطع عرضی، روش گام مستقیم<sup>۳</sup> نامیده می‌شود. روش اصلی محاسباتی، مبتنی بر حل تکرار شونده معادله انرژی است. با توجه به جریان و ارتفاع سطح آب در یک مقطع عرضی، هدف از روش گام استاندارد، محاسبه ارتفاع سطح آب در مقطع عرضی مجاور است. معادله انرژی (معادله برنولی<sup>۴</sup>) به صورت زیر بیان می‌شود (مرکز مهندسی هیدرولوژیک، ۲۰۱۰، فصل ۲: ۲؛ دانشفراز و منازاده، ۱۳۹۱: ۶۳):

$$Z_2 + Y_2 + \frac{a_2 V_2^2}{2g} = Z_1 + Y_1 + \frac{a_1 V_1^2}{2g} + h_e \quad (رابطه ۱)$$

که در آن:  $Z_1, Z_2$ : تراز کف کanal اصلی؛  $Y_1, Y_2$ : عمق آب در مقاطع عرضی؛  $V_1, V_2$ : متوسط سرعت جریان (دبی کل تقسیم بر مساحت جریان کل)؛  $a_1, a_2$ : ضرایب وزنی سرعت؛  $g$ : شتاب ثقلی و  $h_e$ : افت هد انرژی می‌باشد. افت هد انرژی ( $h_e$ ) بین دو مقطع عرضی، شامل افت‌های اصطکاک و افت‌های انقباض (تنگ شدگی) یا انبساط (بازشدگی) است (برای معادلات، مراجعه شود به: مرکز مهندسی هیدرولوژیک، فصل دوم: ۲-۱۰). در تحقیق حاضر، از داده‌های هیدرومتری ایستگاه ساری‌قمیش در بالادست بازه مورد مطالعه و از داده‌های ایستگاه‌های قوره‌چای و جان‌آقا، موجود بر روی انشعابات قوره‌چای و اجرلوچای، برای محاسبات دوره‌های بازگشت و رابطه دبی-اشل استفاده شده است. همچنین، جهت تعیین توزیع ضریب اصطکاک مجرأ و دشت سیلابی، نقشه پوشش زمین با استفاده از تصاویر ماهواره‌ای Google Earth و مطالعات میدانی تهیه شد.

1 Cameron and Ackerman

2 Steady gradually varied flow

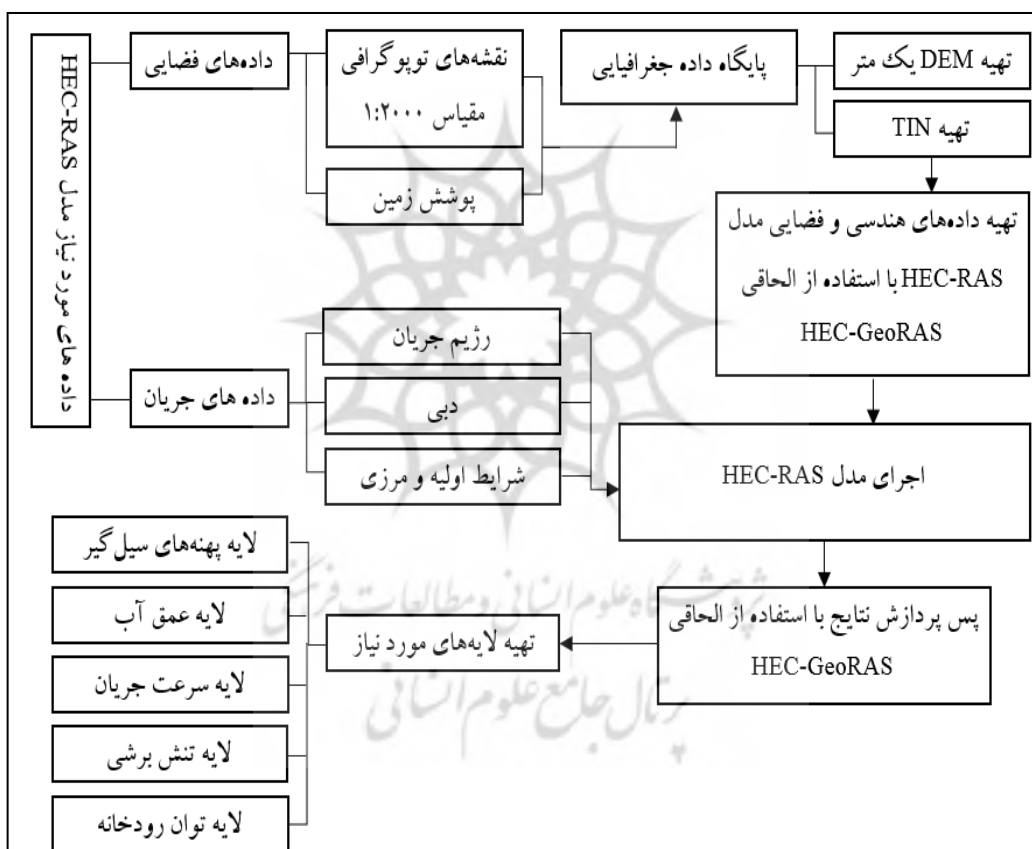
3 direct step method

4 Bernoulli

برای بررسی اثرات ژئومورفولوژیکی سیلاب‌ها، از توان رودخانه و پهنه‌های سیل‌گیر استفاده شد. توان رودخانه<sup>۱</sup>، به عنوان یک مفهوم ژئومورفولوژیکی، عبارت است از: مقدار انرژی موجود یک رودخانه برای حرکت یا جابجایی رسوب، سنگ یا مواد چوبی. برای یک مقطع عرضی، توان کل رودخانه در واحد طول کanal می‌تواند به صورت زیر بیان شود (سرویس حفاظت منابع طبیعی<sup>۲</sup>، ۲۰۰۸؛ فصل ۶: ۹؛ بیکر<sup>۳</sup> و همکاران، ۲۰۰۹: ۱۴۴-۱۳۳؛ سونگ<sup>۴</sup> و همکاران، ۲۰۱۴: ۲۹۰-۲۸۰):

$$\Omega = \gamma Q S_f \\ = \gamma w d S_f \quad (2)$$

که در آن:  $\gamma$  = وزن واحد (مخصوص) آب ( $\text{lb}/\text{ft}^3$ )؛  $S_f$  = شیب انرژی ( $\text{ft}$ )؛  $Q$  = دبی ( $\text{ft}^3/\text{s}$ )؛  $w$  = سرعت (ft/s)؛  $d$  = عرض کanal (ft)؛  $d$  = عمق هیدرولیک (ft).



شکل ۲ روند مدل‌سازی با استفاده از الحاقی HEC-GeoRAS و مدل هیدرودینامیکی HEC-RAS

1 Stream power

2 Natural Resources Conservation Service

3 Baker

4 Song

### ۳. بحث و نتایج

#### ویژگی‌های ژئومورفولوژیکی دشت سیلابی زرینه‌رود

اغلب گستره دشت سیلابی زرینه‌رود، در طی دوره یخچالی وورم، زیر آب‌های دریاچه ارومیه بوده است که پراکندگی تراس‌های دریاچه‌ای موجود در پناه تپه‌ماهورها و ناهمواری‌های مشرف به دشت‌های جنوب و جنوب‌شرق چاله ارومیه، مخصوصاً در اطراف شهرهای ملکان و باروک میاندوآب، گواه این مطلب است. از نظر ژئومورفولوژیکی، پراکندگی تراس‌ها (شکل ۳)، پشت‌های پیچشی<sup>۱</sup> حاصل از مهاجرت مئاندرها و کanal‌های متروک، ویژگی باز دشت سیلابی رودخانه زرینه است. در نزدیکی مجرای فعال رودخانه، برخی از کanal‌های متروک به دلیل زهکشی رواناب‌های اطراف یا آب‌های زائد کشاورزی و یا جریان لبریزی مجراء، به صورت تالاب‌ها و باتلاق‌هایی درآمده‌اند (شکل ۴). شکل‌گیری دو مخروطافکنه انشعابی محمودآباد و کشاورز، علاوه بر ایجاد خاک‌های حاصلخیز، تاثیرات زیادی بر روند تحولات مورفولوژیکی مجرای رودخانه زرینه‌رود داشته و دارد. مخروطافکنه کشاورز (اجرلوچای) بزرگ‌ترین مخروطافکنه انشعابی در کل امتداد مجرای اصلی رودخانه زرینه‌رود است.

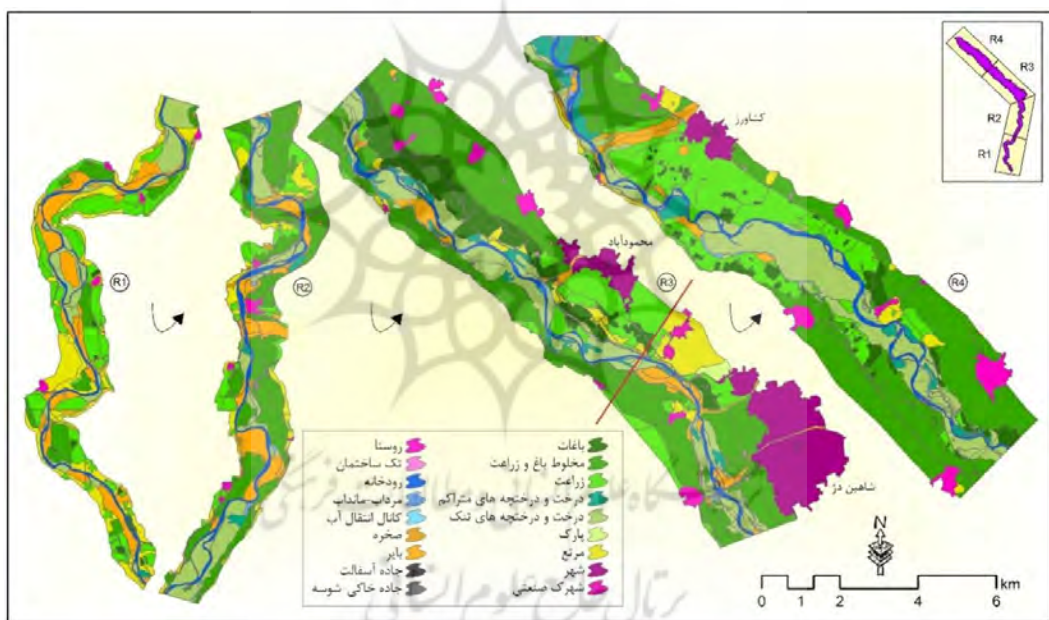


شکل ۴ کanalی که در طی چند سال گذشته، متروک شده و متعاقب سیل مهر ۱۳۹۳ دارای آب شده است. رشد گیاهان آبزی آب‌های راکد و رسوب‌گذاری ناشی از این جریانات، به تدریج باعث پرشدن مجرماً شود.

شکل ۳ تراس واقع در تراز ۱۳۳۶ متری از سطح دریا (در ارتفاع حدود ۶ متری و فاصله ۱۱۰۰ متری نسبت به بستر فعلی رودخانه). این تراس را می‌توان به عنوان دومین سطح تراس منطقه در نظر گرفت.

باشه مورد مطالعه از مجرای رودخانه زرینه‌رود، با توجه به عرض دشت سیلابی، مواد تشکیل‌دهنده بستر و کناره‌ها و همچنین میزان تغییرات جانبی مجراء، می‌تواند به دو باشه فرعی تقسیم‌بندی شود: باشه (۱) که از ابتدای باشه مطالعاتی شروع و در حدفاصل شهرک صنعتی شاهین‌دژ و شهر محمودآباد خاتمه می‌یابد (R1)

R2 و قسمت بالادست R3 در شکل ۵). مواد تشکیل دهنده بستر این بازه، عمدتاً از رسوبات با اندازه بزرگ تر از گراول یعنی قلوه سنگ‌ها و پاره‌سنگ‌ها می‌باشند. مواد کناره‌ها نیز، یا عمدتاً از گراول و قلوه سنگ تشکیل یافته، یا اینکه، درنتیجه مهاجرت خم‌های مئاندرها مستقیماً به واحد کوهستان برخورد کرده‌اند. در قسمت‌های زیادی، به علت انتقال و فقدان رسوبات ریزدانه، بستر آرمورینگ شده است. در این بازه، عرض دشت سیلابی، محدود بوده و پوشش زمین عمدتاً شامل زراعت، شن‌زار و درختان پراکنده بید می‌باشدند (شکل ۵). بازه (۲) از بالادست محمودآباد شروع و تا بالادست سد نوروزلو امتداد می‌یابد. این بازه، نمونه مشخصی از رودخانه‌های با بستر گراولی است و رسوبات در حد ماسه در لابلای گراول‌ها به فراوانی قابل مشاهده است. افزایش عرض دشت سیلابی و دسترسی رودخانه به مواد فرسایش‌پذیر کناره‌ها، مخصوصاً رسوبات مخروط-افکنه‌های محمودآباد و کشاورزی، باعث افزایش دینامیک عرضی رودخانه در این بازه شده است. زراعت و باغداری، پراکندگی درختچه‌های گز (یولقون) و درختان بید، کاربری غالب این بازه می‌باشد.



شکل ۵ کاربری اراضی دشت سیلابی زرینه‌رود (در بازه اول کاربری اراضی پایکوه‌ها نیز نشان داده شده است)

از نظر شکل مسطحه‌تی<sup>۱</sup>، مجرای رودخانه از نوع مئاندری می‌باشد و فرم‌ها و فرم‌های فرایندی رودخانه‌های مئاندری، مانند مهاجرت خم‌های مئاندر، ایجاد میانبرها (به صورت گلوگاهی<sup>۲</sup> و شوت<sup>۳</sup>)، تغییر مسیر مجراء،

1 Planform

2 Neck

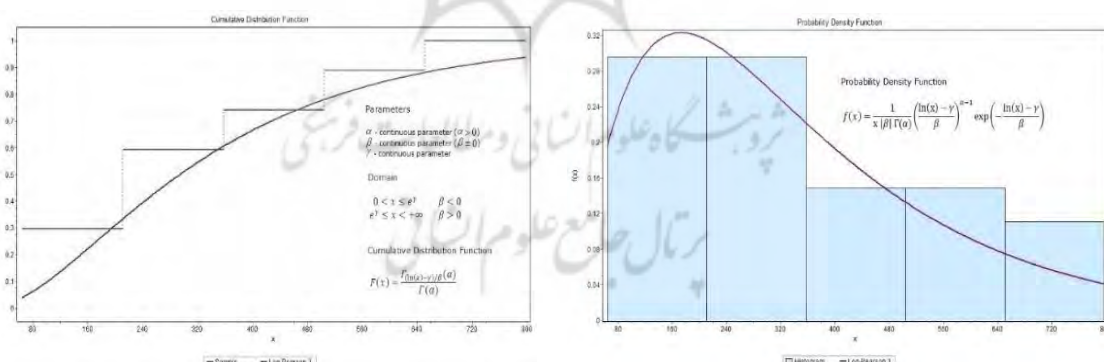
3 Chute

4 Avulsion

پشته‌های نقطه‌ای<sup>۱</sup> (هم در داخل کanal و هم در کناره‌های محدب خم‌ها)، پشته‌های پیچشی و کanal‌های متزوك، به روشنی و فراوانی دیده می‌شوند. مورفولوژی مجرای رودخانه زرینه رود، مخصوصاً در بازه (۲)، از نوع معمول حوضچه- خیزآب<sup>۲</sup> است.

#### پهنه‌بندی سیلاب‌های رودخانه زرینه رود

برنامه‌ریزی و طراحی مؤثر پروژه‌های مدیریت ریسک سیلاب، نیازمند تخمین‌های دقیقی از ریسک سیلاب است (کمیته مطالعه فراوانی سیلاب رودخانه‌های آمریکا،<sup>۳</sup> ۱۹۹۹: ۳۹). اساساً، تحلیل فراوانی سیلاب، شامل رابطه بین کمیت‌های سیلاب و احتمال وقوع و عدم وقوع آن‌هاست (دوره بازگشت) (اشلی<sup>۴</sup> و همکاران، ۲۰۰۷: ۱۲۳). آژانس مدیریت اضطراری فدرال ایالات متحده (FEMA) برای وضع مقررات و آیین‌نامه‌های ساخت و ساز در نزدیکی رودخانه‌ها، سیلاب با دوره بازگشت ۱۰۰ ساله را مورد استفاده قرار می‌دهد (هیندمان و هیندمان، ۲۰۰۹: ۳۰۴). توابع توزیع و روش‌های تخمین مختلفی برای برآورد توزیع فراوانی سیلاب وجود دارند. روش‌های ارائه شده توسط سازمان‌های فدرال آمریکا براساس برآش یک توزیع پیرسون تیپ ۳ به لگاریتم‌های مبنای ۱۰ دبی‌های پیک است (کارگروه بین سازمانی فدرال بازسازی رودخانه،<sup>۵</sup> ۲۰۰۱، فصل ۷: ۵) که در این تحقیق نیز برای محاسبات از این روش استفاده شده است. میانگین دبی ماهانه،تابع توزیع تجمعی،تابع چگالی احتمال و برآش توزیع لوگ پیرسون تیپ ۳ به دبی‌های پیک ایستگاه ساری‌قمیش (به عنوان مهم‌ترین ایستگاه) در شکل‌های (۶) تا (۹) نشان داده شده است. در جدول (۱)، دوره‌های بازگشت سیلاب‌ها محاسبه شده است.



شکل ۷ تابع توزیع تجمعی دبی‌های پیک ۱. ساری‌قمیش

شکل ۶ تابع چگالی احتمال دبی‌های پیک ۱. ساری‌قمیش

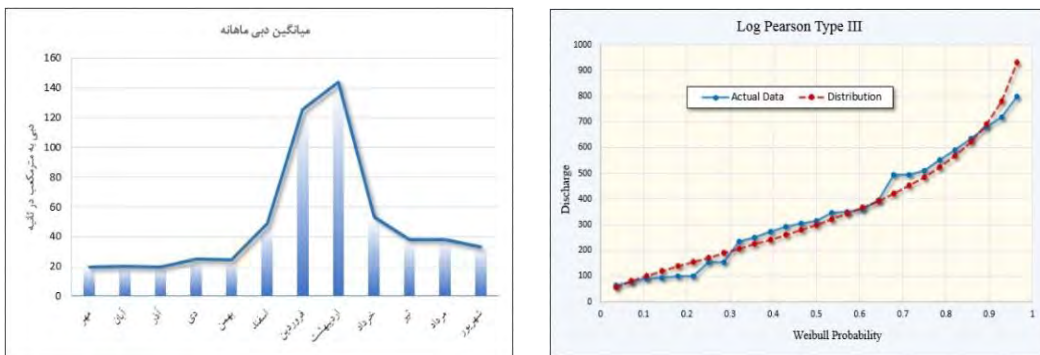
1 point bars

2 Pool-Riffle

3 Committee on American River Flood Frequencies

4 Ashley

5 The federal interagency stream restoration working group



شکل ۹ میانگین دبی ماهانه ا. ساریقمیش

شکل ۸ برازش توزیع فراوانی پیرسون تیپ ۳ به لگاریتم‌های جریانات پیک سالیانه ا. ساریقمیش

جدول ۱ دبی پیک‌های سیلاب با دوره‌های بازگشت و احتمال وقوع مختلف با استفاده از توزیع لوگ

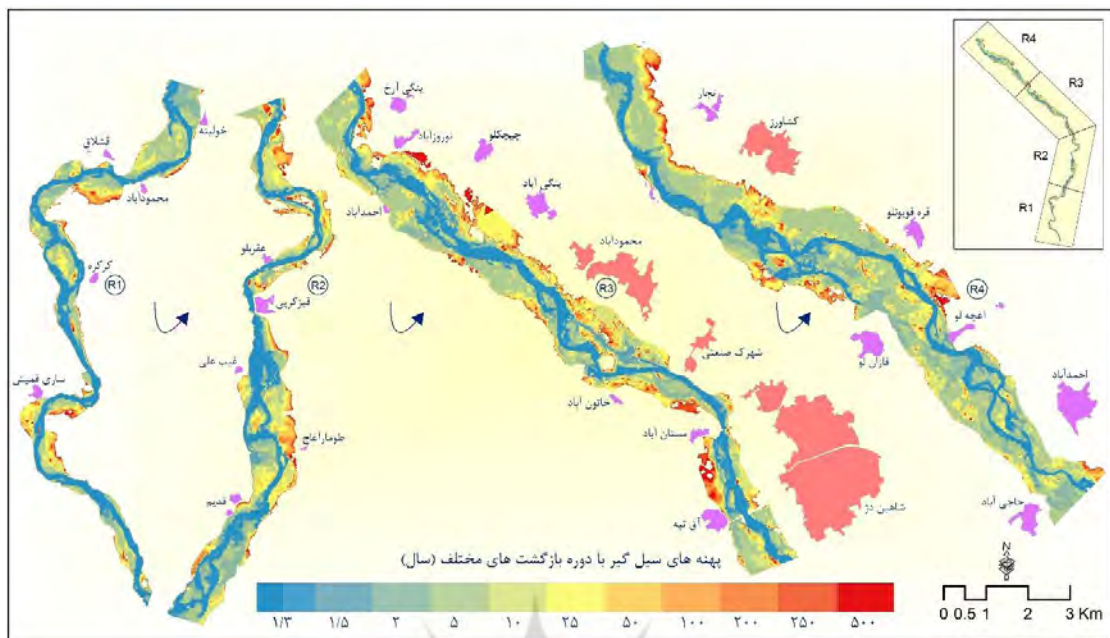
پیرسون تیپ ۳

دوره بازگشت	احتمال وقوع	ایستگاه	حداکثر دبی لحظه‌ای	دوره بازگشت	احتمال وقوع	ایستگاه	حداکثر دبی لحظه‌ای	دوره بازگشت	ایستگاه	حداکثر دبی لحظه‌ای
۱/۳	۰/۲۵۵	۱۷۴/۱	۲۷/۴	۱/۵	۰/۳۲۵	۲۰۷/۹	۳۱/۹	۱/۰	۰/۵۰۰	۴۴/۲
۱/۵	۰/۳۲۵	۲۹۹/۶	۳۳/۳	۲	۰/۵۰۰	۴۱۱/۱	۴۸/۸	۳	۰/۶۶۷	۵۷/۸
۲	۰/۵۰۰	۵۴۰/۴	۶۶/۵	۳	۰/۶۶۷	۷۰۴/۸	۷۲/۳	۵	۰/۸۰۰	۷۲/۳
۳	۰/۶۶۷	۹۰۷/۴	۸۵/۶	۵	۰/۸۰۰	۱۰۶/۸	۸۸/۸	۱۰	۰/۹۰۰	۱۰۷/۲
۵	۰/۸۰۰	۱۰۵۱/۶	۱۰۷/۲	۱۰	۰/۹۰۰	۱۱۸/۲	۱۱۸/۲	۱۰	۰/۹۶۰	۱۲۰/۳
۱۰	۰/۹۰۰	۱۱۸۸/۵	۱۲۰/۳	۲۵	۰/۹۶۰	۱۳۱۸/۸	۱۴۴/۵	۵۰	۰/۹۸۰	۱۴۴/۵
۲۵	۰/۹۶۰	۱۳۵۹/۳	۱۴۴/۵	۵۰	۰/۹۸۰	۱۴۸۱/۱	۱۵۶/۵	۱۰۰	۰/۹۹۰	۱۵۶/۵
۵۰	۰/۹۸۰	۱۴۶۷/۳	۱۵۶/۵	۱۰۰	۰/۹۹۰		۱۶۶/۴	۲۰۰	۰/۹۹۵	۱۶۶/۴
۱۰۰	۰/۹۹۰		۱۶۶/۴	۲۰۰	۰/۹۹۵		۱۶۹/۳	۲۵۰	۰/۹۹۶	۱۶۹/۳
۲۰۰	۰/۹۹۵		۱۶۹/۳	۲۵۰	۰/۹۹۶		۱۷۷/۲	۵۰۰	۰/۹۹۸	۱۷۷/۲

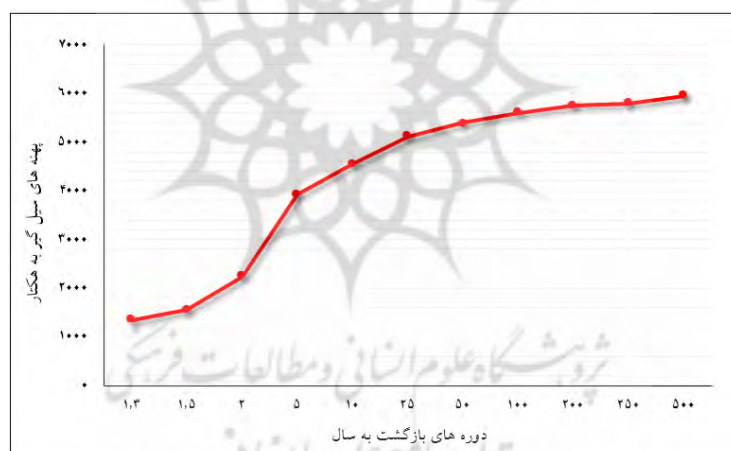
در شکل (۱۰)، پهنه‌های سیل‌گیر رودخانه زرینه‌رود و در شکل (۱۱)، مساحت محدوده‌های سیل‌گیر با دوره‌های بازگشت مختلف، به صورت تجمعی، نشان داده شده است. روند افزایش مساحت پهنه‌های سیل‌گیر

مربط به سیلاب‌های تا دوره بازگشت ۲۵ ساله، دارای آهنگ نسبتاً سریعی است و سپس، این روند به‌طور محسوسی کاهش می‌یابد. با توجه به نقشه پهنه‌بندی سیلاب، می‌توان گفت که سیلاب‌ها در مکان‌یابی محل استقرار شهرها و روستاهای حاشیه رودخانه زرینه‌رود نقش عمده‌ای را ایفا کرده‌اند، بطوریکه، سیلابی بودن این رودخانه را می‌توان از دلایلی به شمار آورد که سکونتگاه‌ها به دور از مجرای رودخانه و در مجاورت پای‌کوه‌ها یا تراس‌های مشرف به دشت سیلابی استقرار یافته‌اند. سه شهر شاهین‌دژ، محمودآباد و کشاورز، به علت قرارگیری در ارتفاع بالاتر از بستر رودخانه (بیش از ۱۰ متر)، به‌طور کامل، مصون از سیلاب‌های رودخانه می‌باشند. با ذکر این نکته که، حداکثر عمق آب در عمیق‌ترین قسمت‌ها در امتداد مجرای رودخانه برای سیلاب‌های تا دوره بازگشت ۵۰۰ ساله به ۸ متر نمی‌رسد. با این حال، سیلاب‌های ناشی از مسیل‌ها و رودخانه‌های فصلی هاچه‌سو، آخچه، جوشاتوچای و اجرلوچای، که از انشعابات رودخانه زرینه‌رود می‌باشند، به صورت بالقوه، جزو مخاطرات طبیعی این شهرها مطرح می‌باشد. خطرات عمده سیلاب‌های رودخانه زرینه‌رود، متوجه اراضی کشاورزی و برخی از تاسیساتی است که در محدوده دشت سیلابی احداث شده‌اند. سیلاب‌ها می‌توانند خسارات قابل توجهی به اراضی کشاورزی حاشیه این رودخانه تحمیل کنند. به عنوان مثال، یک سیلاب تا دوره بازگشت ۲۵ ساله، حدود ۱۷۱۳ هکتار از اراضی کشاورزی و باغات حاشیه رودخانه را دربرمی‌گیرد که می‌تواند منجر به تخربی گستردۀ اراضی و خسارات هنگفت شود.

ژئومورفولوژی منطقه، نقش قاطعی در میزان پخش سیلاب در حاشیه رودخانه زرینه‌رود ایفا می‌کند. بطوریکه در بازه (۱)، به علت کم عرض بودن دشت سیلابی، پهنه‌های سیل گیر نیز محدود می‌باشد. در این بازه، یک سیلاب تا دوره بازگشت ۲۵ ساله، تقریباً کل دشت سیلابی را فرامی‌گیرد و تنها قسمت‌هایی از برخی تراس‌ها و پشته‌های رسوبی موجود در دشت سیلابی غرقاب نمی‌شوند. در بازه (۲)، همزمان با افزایش عرض دشت سیلابی، بر پهنه‌های سیل گیر نیز افزوده می‌شود. در این بازه نیز، توپوگرافی محلی نقش زیادی در تعیین میزان سیل گیری حاشیه رودخانه دارد. بیشترین مساحت پهنه‌های سیل گیر در حد فاصل روستاهای قره‌قویونلو و قازان‌لو می‌باشد، بطوریکه، عرض پهنه سیل گیر برای یک سیلاب تا دوره بازگشت ۲۵ ساله، در برخی قسمت‌ها به بیش از  $2/3$  کیلومتر می‌رسد. تأثیر مخروط‌افکنه رودخانه اجرلو بر کاهش مساحت سیل گیر رودخانه زرینه‌رود در این محدوده به روشنی مشخص است و سطح مخروط‌افکنه به علت مورفولوژی محدب و برجسته، مصون از سیلاب‌های بازگشت‌های مختلف رودخانه زرینه‌رود شده است.



شکل ۱۰ پهنه‌های سیل‌گیر دشت سیلابی رودخانه زرینه رود (به صورت تجمعی) با دوره‌های بازگشت مختلف



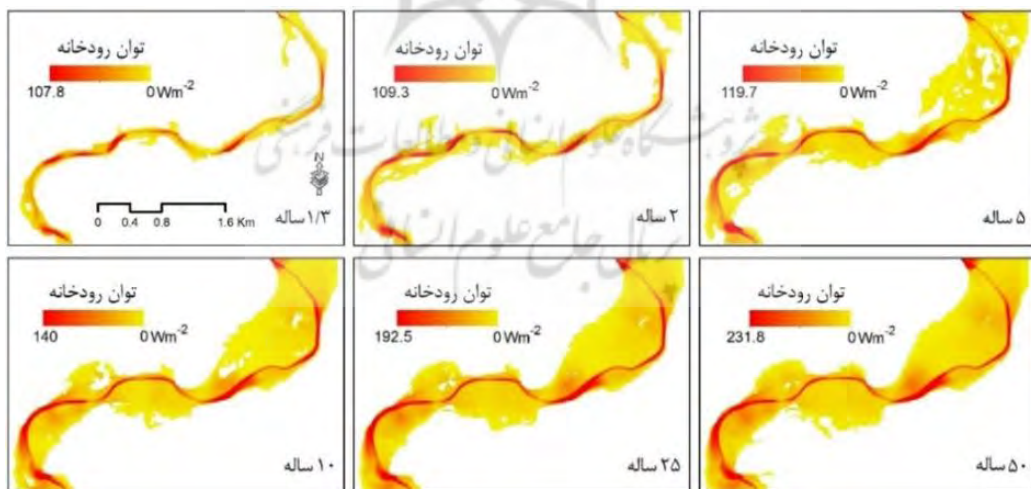
شکل ۱۱ نمودار تجمعی مساحت پهنه‌های سیل‌گیر برای دوره‌های بازگشت مختلف

### اثرات مورفولوژیکی سیلابها

توانایی انجام کار رئومورفیک رودخانه‌ها، معمولاً به عنوان توان رودخانه (SP) بیان می‌شود (بیزی و لرنر، ۲۰۱۵؛ ۲۷-۲۶). سیلاب‌ها، با افزایش قابل توجه توان رودخانه، نقش چشمگیری در تغییرات مورفولوژیکی مجرای رودخانه‌ها ایفا می‌کنند. به عنوان مثال، اگر یک سیلاب با دوره بازگشت ۱/۳۳ ساله به عنوان دبی لب-پری<sup>۱</sup> رودخانه در نظر گرفته شود (این دبی به عنوان دبی شکل دهنده مجرای رودخانه زرینه رود در نظر گرفته

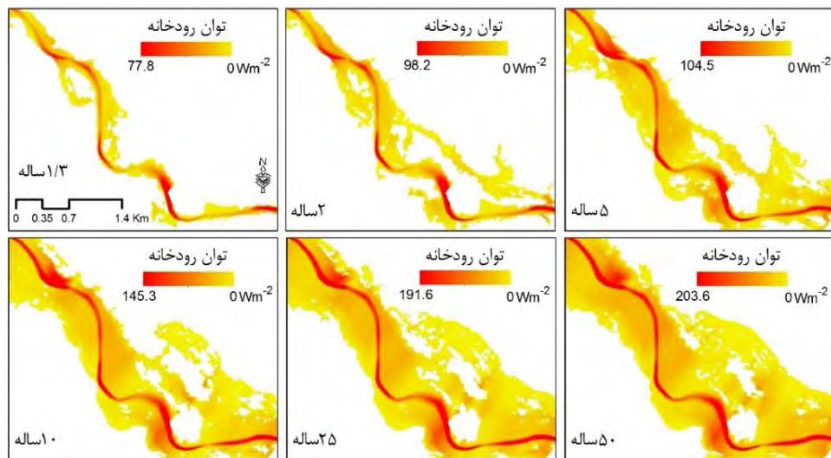
1 Bankfull

شد که به علت فراوانی تکرار، نقش زیادی در فرسایش کناره و مهاجرت خم‌های مثاندرها دارد؛ توان رودخانه در حالت لب‌پری، افزایش محسوسی نسبت به دبی‌های معمول رودخانه نشان می‌دهد. در بازه مورد مطالعه، یک روند کاهشی در توان رودخانه از بالا دست به سمت پایین دست دیده می‌شود (شکل‌های ۱۲ تا ۱۴) که علت اصلی آن، کاهش شیب و ازاین‌رو کاهش سرعت و تنفس برشی مجرماً می‌باشد. در قسمت‌های مختلف مجرماً، تغییرات بسیار زیادی در توان رودخانه دیده می‌شود. توان رودخانه، مخصوصاً در داخل حوضچه‌های<sup>۱</sup> ناشی از آبشستگی خم مثاندرها، افزایش محسوسی نسبت به خیزآب‌ها<sup>۲</sup> دارد (برای نمونه شکل ۱۵). این امر نشان می‌دهد که مثاندرهای رودخانه به صورت بالقوه می‌توانند در دشت سیلابی مهاجرت کنند که در برخی از موارد، باعث مخاطراتی نیز می‌شوند. به احتمال زیاد، هنگامی که SP محلی، به طور قابل توجهی نسبت به SP بالا دست خود بالاتر باشد، فرسایش غلبه یافته و در حالت عکس، نهشته‌گذاری اتفاق می‌افتد. با افزایش دوره بازگشت، به دلیل افزایش دبی رودخانه، بر میزان SP و درنتیجه توان تغییرات مورفولوژیکی افزوده می‌شود که اگر با شرایط محلی، مخصوصاً الگوی غالب رودخانه و فرسایش‌پذیری مواد بستر و کناره‌ها ترکیب شود، می‌توان به پتانسیل فرسایش و نهشته‌گذاری در قسمت‌های مختلف مجرماً پی برد. به عنوان مثال، توان رودخانه نسبت به دبی لب‌پری، برای سیلاب‌های ۲، ۵، ۱۰ و ۲۵ ساله، به ترتیب، حدود ۵/۸، ۳/۶۲، ۳/۹۲ و ۲/۱۲۵ درصد افزایش می‌یابد. علاوه بر این، با افزایش دوره‌های بازگشت (بیش از ۵ سال) بر میزان پخش سیلاب در پهنه دشت سیلابی نیز افزوده می‌شود و فرسایش دشت سیلابی ناشی از دبی لب‌ریزی و احتمال وقوع میانبرها و تغییر مسیرها افزایش می‌یابد.

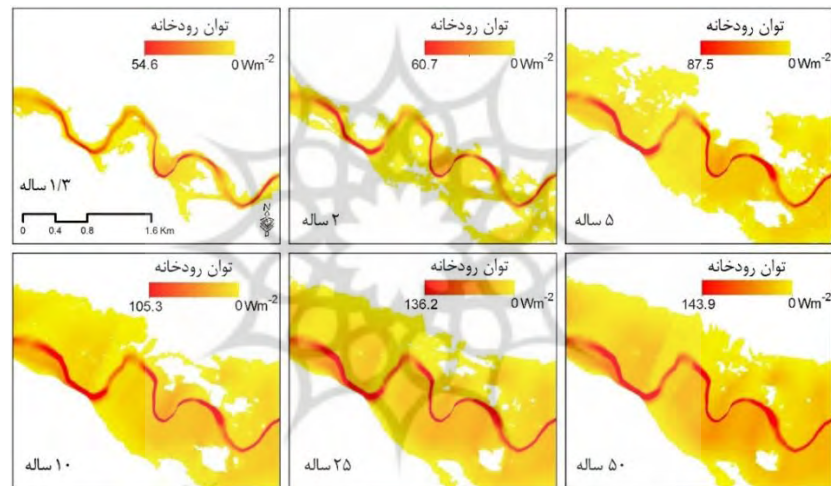


شکل ۱۲ توان رودخانه در مجرماً و دشت سیلابی رودخانه زرینه‌رود در بخشی از بازه (۱)

1 Pools  
2 Riffles



شکل ۱۳ توان رودخانه در مجرأ و دشت سیلابی رودخانه زرینه رود در بخشی از بالادست بازه (۲)



شکل ۱۴ توان رودخانه در مجرأ و دشت سیلابی رودخانه زرینه رود در بخشی از پایین دست بازه (۲)

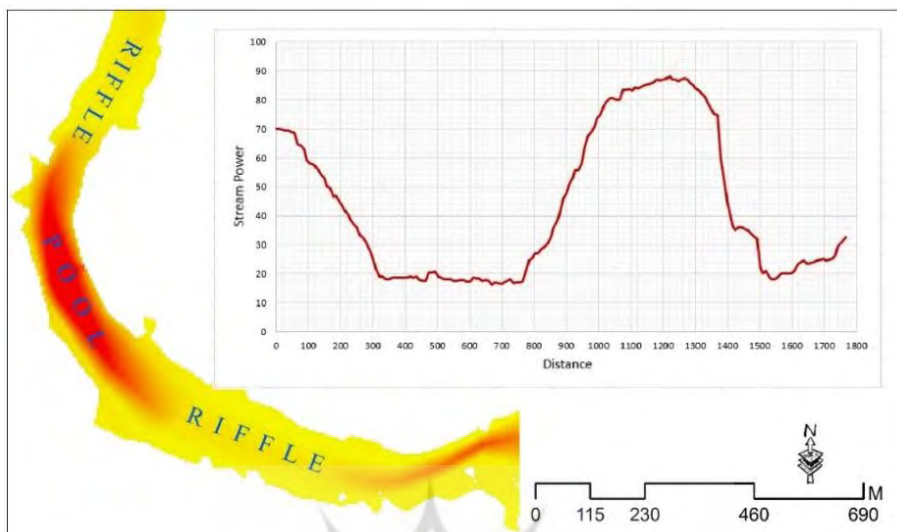
با اینکه، پتانسیل انجام کار ژئومورفیک توان رودخانه در بازه (۱)، مخصوصاً در داخل خم‌های مثاندرها، زیاد است؛ اما بستر رودخانه در بیشتر قسمت‌ها متشكل از آبرفت‌های در حد پاره‌سنگ<sup>۱</sup> می‌باشد. درنتیجه، توان رودخانه از انجام کار ژئومورفیک محدودی برخوردار بوده و به علت مواجهه با یک بستر آرمورینگ، توانایی کف کنی آن اندک است. در مورد فرسایش کناره نیز همین شرایط صادق است، بطوريکه، کناره‌های رودخانه از نوع رسوبات درشت دانه است که اغلب به خوبی سیمانی شده‌اند و یا اینکه مجرای رودخانه، درنتیجه مهاجرت خم‌ها، مستقیماً به واحد کوهستان برخورد کرده است. واحد کوهستان عمدتاً شامل انواع

<sup>1</sup> cobble

مختلف کنگلومراها و سنگهای آهکی است که به عنوان یک مانع عمدۀ در تغییرات مجرّا محسوب می‌شوند. به همین دلیل است که در این بازه، شواهد میانبرهای گلوگاهی به ندرت به چشم می‌خورد. در داخل مجرّا، پشتۀ‌های رسوبی محدودی به چشم می‌خورد. این پشتۀ‌ها تنها در کناره محدب خم‌های مئاندرها دیده می‌شوند که در طی سیلاپ‌ها، به شدت دستکاری می‌شوند. می‌توان گفت که محدود بودن پشتۀ‌های رسوبی، دلیلی بر حاکمیت فرایند انتقال رسوب و محدودیت نهشتۀ‌گذاری در قسمت اعظم این بازه است. در واقع، رسوباتی که توسط شعبات مختلف رودخانه به این بازه وارد می‌شوند به دلیل توان زیاد رودخانه، به بازه پایین دست منتقل شده و فرایندهای فرسایش و نهشتۀ‌گذاری محدود می‌باشند.

به محض اتمام بازه اول، تغییرات زیادی در عرض دشت سیلابی و به تبع آن، عرض پنهانهای سیل‌گیر، مواد بستر، مواد کناره و دشت سیلابی دیده می‌شود. این بازه، می‌تواند به صورت نمونه مشخصی از رودخانه‌ای با بستر گراولی محسوب شود. جنس کناره‌ها از رس و سیلت تا گراول متغیر است؛ اما، واحد کوهستان و تپه‌ها نیز در برخی قسمت‌ها بر روی مورفولوژی رودخانه تاثیرگذار بوده‌اند. در این بازه، هرچند توان رودخانه نسبت به بازه اول پایین‌تر است؛ اما در طی سیلاپ‌ها افزایش چشمگیری می‌یابد. کناره‌های رودخانه، عمدتاً منطبق بر حاشیه مخروطافکنهای محمودآباد و کشاورزی تراس‌های رودخانه‌ای است که عموماً لايه‌لایه بوده و ترکیبی از رس و سیلت تا گراول دارند؛ بنابراین، سیلاپ‌ها نقش عمدۀ‌ای در فرسایش کناره و جابجایی مجرّا ایفا می‌کنند. بطوریکه، آثار فرسایش مربوط به سیلاپ‌های لب‌پری و لبریزی، به وفور در حاشیه رودخانه قابل مشاهده است (به عنوان مثال شکل‌های ۱۶ تا ۱۹). در این بازه، عوارض فرسایشی و رسوبی به فراوانی در مجاورت هم دیده می‌شود که علت اصلی آن را می‌توان به تغییرات محلی توان رودخانه نسبت داد (شکل ۱۵). وجود عوارض فرسایشی از قبیل پرتگاههای فرسایشی و کناره‌های عمودی یا کناره‌های با برش زیرین، نشان‌دهنده فرایندهای فرسایش کناره هستند و نشانه‌ای از میزان جابجایی جانبی و مقدار رسوب جابجا شده به سمت پایین دست جریان می‌باشند. در این بازه، افزایش محسوس توان رودخانه در داخل خم‌های مئاندرها (شکل ۱۵) با فرسایش‌پذیری زیاد کناره‌ها توأم شده و درنتیجه، فرسایش شدیدی در طی سیلاپ‌ها اتفاق افتاده و حجم زیادی از رسوبات، وارد مجرای رودخانه می‌شوند. بر عکس، در قسمت‌هایی که توان رودخانه کاهش می‌یابد، فرایند رسوب‌گذاری اتفاق می‌افتد. فراوانی پشتۀ‌های نقطه‌ای، چه در داخل مجرّا و چه در کناره محدب خم‌های مئاندر، گواه این است که در طی سیلاپ‌ها، حجم زیادی از رسوبات وارد مجرّا می‌شود که رودخانه توان جابجایی تمامی آن‌ها را ندارد. همچنانکه بیزی و لرنر (۲۰۱۵) بیان می‌دارند: برای رودخانه‌های با بستر گراولی، حضور گستردۀ پشتۀ‌های گراولی بدون پوشش گیاهی نشان‌دهنده تأمین رسوب غنی از بالادست است، که تا حدی در بازه ذخیره شده و به طور مداوم توسط سیلاپ‌های دوره‌ای دستکاری می‌شوند. درنتیجه، در قسمت‌هایی که توان رودخانه کاهش می‌یابد،

می‌توان شاهد نهشته‌گذاری حجم زیادی از رسوبات، همزمان و بعد از گذر موج سیلاب بود؛ بطوریکه، در برخی قسمت‌ها، مجرای رودخانه رفتار آستانه‌ای گذر به الگوی گیسوئی را نشان می‌دهد.



شکل ۱۵ تغییرات محسوس توان رودخانه در یک مثاندر منفرد (برای یک سیلاب با دوره بازگشت ۱/۳۳ ساله) که پتانسل فرسایش و نهشته‌گذاری در مجرأ را نشان می‌دهد.

علاوه بر این، در رابطه با سیلاب‌های با دوره بازگشت بیشتر از ۵ سال، پنهان سیل‌گیر رودخانه افزایش محسوسی می‌یابد. این امر، تأثیر زیادی بر دشت سیلابی (فرسایش و نهشته‌گذاری)، مخصوصاً در محدوده مخروط افکنه محمودآباد، می‌گذارد که دارای رسوبات بسیار حساس به فرسایش می‌باشند. این شرایط، منجر به دستکاری شدید دشت سیلابی در طی سیلاب‌های با دوره بازگشت بالاتر شده است (شکل ۱۷). در محدوده این بازه، دو رودخانه فصلی جوشاتوچای و اجرلوچای (و مسیلهای واقع در این محدوده) وارد رودخانه زرینه‌رود می‌شوند. یکی از تفاوت‌های عمده‌ای که حوضه‌های آبریز این رودخانه‌ها با سایر حوضه‌های آبریز انشعابات رودخانه زرینه‌رود دارند، به فرسایش‌پذیری سازندها و فراوانی وقوع ناپایداری‌های دامنه‌ای به صورت زمین‌لغزش مربوط می‌شود. بطوریکه، وسعت برخی از زمین‌لغزش‌ها در این حوضه‌ها به بیش از یک هکتار می‌رسد. ارقام شگفت‌انگیز آوردهای رسوبی سیلاب‌های این حوضه‌ها را می‌توان به این امر نسبت داد (آورد رسوبی ۲۴۷۳۹ تن در روز برای یک سیلاب با دبی ۸۷ مترمکعب در ثانیه در سال ۱۳۸۴، آورد رسوبی ۱۰۴۶۹ تن در روز برای یک سیلاب با دبی  $50/3$  مترمکعب در ثانیه در سال ۱۳۸۵، آورد رسوبی ۴۲۸۳۴ تن در روز برای یک سیلاب با دبی  $83/7$  مترمکعب در ثانیه در سال ۱۳۹۰ برای رودخانه اجرلو در ایستگاه جان‌آقا را می‌توان به عنوان نمونه ذکر کرد). همین امر در ساختار مخروط افکنه‌ها نیز انعکاس یافته است. در این بازه، علاوه بر میانبرهای گلوگاهی، میانبرهای شوت (میان‌پشته‌ای) نیز به فراوانی

قابل مشاهده است که از نشانه‌های ناپایداری مجرای رودخانه می‌باشدند. مطمئناً، سیلاب‌هایی که توان پخش بر روی پسته‌ها و حاشیه رودخانه را دارند، در ایجاد این گونه میانبرها نقش قطعی و اصلی را دارند.



شکل ۱۷ فرسایش شدید دشت سیلابی در اطراف

محمودآباد



شکل ۱۶ سیلاب‌های لب‌پری و لب‌ریزی باعث فرسایش شدید کناره‌های فرسایش‌پذیر می‌شوند



شکل ۱۹ تخریب اراضی کشاورزی درنتیجه فرسایش

کناره



شکل ۱۸ فرسایش کناره ناشی از سیلاب مهرماه سال

۱۳۹۳

#### ۴. نتیجه‌گیری

در این تحقیق، بخشی از دشت سیلابی رودخانه زرینه‌رود از نظر رخداد سیلاب‌های با دوره‌های بازگشت مختلف پهنه‌بندی گردید. از نظر ژئومورفولوژی، رودخانه‌ها را می‌توان به عنوان ماشین‌های انتقال رسوب در نظر گرفت که نیروی محركه آن، توان رودخانه می‌باشد. سیلاب‌ها با افزایش چشمگیر توان رودخانه، نقش مهمی در فرایندهای تأمین، انتقال و نهشته‌گذاری رسوبات بر عهده دارند. با توجه به اینکه کارایی توان رودخانه به عنوان شاخص مؤثری جهت بررسی حساسیت مجرای رودخانه‌ها نسبت به فرایندهای فرسایش و رسوب‌گذاری سیلاب‌ها توسط محققان مختلف از قبیل بیزی و لرنر (۲۰۱۵) و سونگ و همکاران (۲۰۱۴) تأیید شده است؛ در تحقیق حاضر، ترکیب این شاخص با فرسایش‌پذیری مواد کناره‌ها تا حد زیادی روند

تغییرات عرضی مجرای رودخانه زرینه را نشان می‌دهد. در بازه بالادست رودخانه زرینه‌رود، با اینکه توان رودخانه در طی سیلاب‌ها زیاد است؛ اما، به علت فرسایش‌پذیری اندک مواد کناره و آرمورینگ بستر مجراء، از توان شکل زایی چندانی برخوردار نیست و فرایند غالب، انتقال رسوب و در مقیاس محدودتر، فرسایش و نهشته‌گذاری است؛ اما در بازه دوم، علاوه بر افزایش پهنه‌های سیل‌گیر دشت سیلابی، به دلیل فرسایش‌پذیری کناره‌ها، دینامیک عرضی مجرای زیاد می‌باشد. الگوی رودخانه در این بازه از نوع مئاندری آزاد بوده و درنتیجه، توان رودخانه در طی سیلاب‌ها و همچنین دبی معمول رودخانه به تناب کم و زیاد می‌شود. در طی موج سیلاب، علاوه بر رسوبات بازه بالادست، فرسایش شدید کناره‌های خارجی خم‌های مئاندرها، حجم زیادی از رسوبات را وارد مجرای رودخانه می‌کند که توأم می‌شود با نهشته‌گذاری شدید در قسمت‌هایی که توان رودخانه اندک است. بیزی و لرنر (۲۰۱۵) و بیزی و همکاران (۲۰۰۹)، چنین شرایطی را تعادل ناپایدار نامیدند؛ یعنی شرایطی که در یک مجرای رودخانه، عوارض فرسایشی گسترده همراه با عوارض رسوبی گسترده حضور دارند. چنین کانال‌هایی بواسطه تحرک جانبی بالا مشخص می‌شوند که نمونه‌ای از رودخانه‌های مئاندری آزاد می‌باشند. آوردهای زیاد بار رسوبی رودخانه‌های فصلی جوشاتوچای و اجرلوچای و مسیل‌های بین این دو حوضه نیز حجم رسوب را در طی سیلاب‌ها به صورت ناگهانی افزایش می‌دهد و منجر به یک نوع رفتار آستانه‌ای (گذر از الگوی مئاندری به گیسوئی) محلی می‌شود.

نتایج پهنه‌بندی سیلاب حاکی از این است که شهرها و روستاهای پیرامون رودخانه، تقریباً به‌طور کامل، مصون از سیلاب‌های رودخانه زرینه می‌باشند. دلیل اصلی آن به استقرار سکونتگاه‌ها در پایکوه‌ها یا تراس‌های مرتفع حاشیه رودخانه مربوط می‌شود؛ اما با توجه به اینکه دشت سیلابی به صورت متراکمی به فعالیت‌های کشاورزی اختصاص یافته است؛ وقوع سیلاب می‌تواند خسارات هنگفتی را موجب شود. بطوریکه، مثلاً نزدیک به ۱۷۱۳ هکتار از اراضی کشاورزی حاشیه رودخانه در معرض یک سیلاب با دوره بازگشت ۲۵ ساله می‌باشد. در قسمت‌هایی نیز، سیلاب‌ها باعث تشدید چشمگیر فرسایش کناره شده و اراضی مرغوب کشاورزی را تخریب می‌کند. به عنوان مثال می‌توان به فرسایش کناره شدید ناشی از سیلاب مهرماه ۱۳۹۳ اشاره کرد. لذا، اتخاذ اقداماتی در جهت کاهش خسارات سیل و جلوگیری از فرسایش شدید کناره ضرورت می‌یابد.

### کتابنامه

دانشفراز، رسول و منازاده، مریم؛ ۱۳۹۱. مروری بر هیدرولیک جریان با سطوح آزاد با حل مسائل در برنامه Matlab. چاپ اول. مراغه: انتشارات دانشگاه مراغه.

رضوی، احمد؛ ۱۳۸۷. اصول تعیین حریم منابع آب. چاپ اول، تهران: انتشارات دانشگاه صنعت آب و برق.  
غفاری، گلاله و امینی، عطالله؛ ۱۳۸۹. مدیریت دشت‌های سیلابی با استفاده از سیستم اطلاعات جغرافیایی (GIS) (مطالعه موردی رودخانه قزل اوزن). فصلنامه علمی - پژوهشی فضای جغرافیایی. شماره ۳۲، صص ۱۳۴-۱۱۷.

- قمی اویلی، فرشته؛ صادقیان، محمدصادق؛ جاوید، امیرحسین و میرباقری، سیداحمد؛ ۱۳۸۹. شبیه‌سازی پهنه‌بندی سیل با استفاده از مدل HEC-RAS. *فصلنامه علوم و فنون منابع طبیعی*. سال شماره ۱. صص ۱۱۵-۱۰۵.
- ولیزاده کامران، خلیل؛ ۱۳۸۶. کاربرد GIS در پهنه بندی خطر سیلاب (مطالعه موردی: حوضه رود لیقوان). *مجله فضای جغرافیایی*. شماره ۲۰. صص ۱۶۹-۱۵۳.
- یمانی، مجتبی؛ تورانی، مریم و چزغه، سمیرا؛ ۱۳۹۱. تعیین پهنه‌های سیل‌گیر با استفاده از مدل HEC-RAS (مطالعه موردی: بالادست سد طالقان از پل گلینک تا پل وشته). *محله جغرافیا و مخاطرات محیطی*. شماره ۱. صص ۱-۱۶.
- Ashley, R., Garvin, S., Pasche, E., Vassilopoulos, A., & Zevenbergen, C. (2007). *Advances in Urban Flood Management*. London: Taylor & Francis Group.
- Barker, D.M., Lawler, D.M., Knight, D.W., Morris, D.G., Davies, H.N., & Stewart, E.J. (2009). Longitudinal distributions of river flood power: The combined automated flood, elevation and stream power (CAFES) methodology. *Earth Surface Processes and Landforms*, 34(2), 280-290.
- Bizzi, S., & Lerner, D.N. (2015). The use of stream power as an indicator of channel sensitivity to erosion and deposition processes. *River Research and Applications*, 31, 16-27.
- Bizzi, S., Harrison, R.F., & Lerner, D.N. (2009). *The growing hierarchical self-organizing map (GHSOM) for analysing multi-dimensional stream habitat datasets*. Proceedings of 18<sup>th</sup> World IMACS Congress and MODSIM09 International Congress on Modelling and Simulation. Cairns, Australia, 734° 740.
- Cameron, T., & Ackerman, P.E. (2012). HEC-GeoRAS, GIS tools for support of HEC-RAS using ArcGIS®10. US Army Corps of Engineers, Hydrologic Engineering Center.
- Committee on American River Flood Frequencies, National Research Council. (1999). *Improving American river flood frequency analyses*. :Washington, D.C. Academy Press.
- Committee on Flood Control Alternatives in the American River Basin, National Research Council. (1995). *Flood risk management and the American river basin: An evaluation*. Washington, D.C.: National Academy Press.
- Committee on Risk-Based Analysis for Flood Damage Reduction, Water Science and Technology Board, National Research Council. (2000). *Risk analysis and uncertainty in flood damage reduction studies*. Washington, D.C.: National Academy Press.
- Gichamo, T.Z., Popescu, I., Jonoski, A., & Solomatine, D. (2012). River cross-section extraction from the ASTER global DEM for flood modeling. *Environmental Modelling & Software*, 31, 37-46.
- HEC (Hydrologic Engineering Center). (2010). *HEC-RAS river analysis system, hydraulic reference manual*. U. S. Army Corps of Engineers.
- Hyndman, D., & Hyndman, D. (2009). *Natural hazards and disasters*. Belmont, Australia : Brooks/Cole, Cengage Learning.
- Knebl, M.R., Yang, Z.L., Hutchison, K., & Maidment, D.R. (2005). Regional scale flood modeling using NEXRAD rainfall, GIS, and HEC-HMS/RAS: A case study for

- the San Antonio river basin summer 2002 storm event. *Journal of Environmental Management*, 75, 325° 336.
- Machado, S.M., & Ahmad, S. (2007). Flood hazard assessment of Atrato River in Colombia. *Water Resources management*, 21(3), 591-609.
- Merwade, V.M. (2004). *Geospatial description of river channels in three dimensions*. Doctoral dissertation, The University of Texas at Austin.
- Montgomery, D.R., & Buffington, J.M. (1997). Channel reach morphology in mountain drainage basins. *Geological Society of America Bulletin*, 109(5), 596-611.
- Natural Resources Conservation Service. (2008). Stream restoration design (National Engineering Handbook 654). United States Department Agriculture.
- Onusluel Gul, G., Harmanc dg, N., & Gul, A. (2010). A combined hydrologic and hydraulic modeling approach for testing efficiency of structural flood control measures. *Natural Hazards*, 54 (2), 245-260.
- Patro, S., Chatterjee, C., Singh, R., & Singh Raghuwanshi, N. (2009). Hydrodynamic modelling of a large flood-prone river system in India with limited data. *Hydrological Processes*, 23, 2774-2791.
- Proverbs, D.G., & Soetanto, R. (2004). Flood damaged property: A guide to repair. Oxford, UK : Blackwell Publishing.
- Ramachandra Rao, A., & Hamed, K.H. (2000). Flood frequency analysis. CRC Press.
- Sene, K. (2008). Flood warning, forecasting and emergency response. New York: Springer.
- Song, S., Schmalz, B., & Fohrer, N. (2014). Simulation and comparison of stream power in-channel and on the floodplain in a German lowland area. *Journal of Hydrology Hydromechanics*, 62(2), 133° 144.
- Tate, E. (1999). *Floodplain mapping using HEC-RAS and ArcView GIS*. M.S.E thesis, The University of Texas at Austin.
- The Federal Interagency Stream Restoration Working Group. (2001). *Stream corridor restoration: principles, processes, and practices*. Natinal Engineering Handbook, USDA-Natural Resources Conservation Service: USA
- Valizadeh Kamran, K.H. (2007). Application of GIS in flood hazard zonation (Case study: Lighvan drainage basin). *Journal of Geographical Space*, 20, 153-169.
- Wohl, E.E. (2000). *Inland flood hazards: human, riparian, and aquatic communities*. Cambridge: Cambridge University Press.
- Yamani, M., Toorani, M., & Chezghe, S. (2012). Detemination of the flooding zones by using HEC-RAS model (Case study: upstream the Taleghan dam). *Journal of Geography and Environmental Hazards*, 1, 1-16.
- Yang, J., Townsend, R.D., & Daneshfar, B. (2006). Applying the HEC-RAS model and GIS techniques in river network floodplain delineation. *Canadian Journal of Civil Engineering*, 33(1), 19-28.